

Análise Avançada de Redes Neurais: Abordagens Estatísticas e Implementação de Circuitos

Luiz Tiago Wilcke

Março 2025

Resumo

As redes neurais artificiais têm se destacado como uma das principais ferramentas no campo da inteligência artificial e aprendizado de máquina. Este artigo apresenta uma análise aprofundada das redes neurais, enfocando suas bases estatísticas e a implementação de suas estruturas como circuitos elétricos. Abordaremos modelos avançados, técnicas de otimização, regularização, arquiteturas especializadas e a representação gráfica das redes utilizando diagramas de circuitos. Este estudo visa proporcionar uma compreensão robusta e detalhada das complexidades envolvidas no design e análise de redes neurais modernas.

Sumário

1	Introdução	5
2	Fundamentos das Redes Neurais	5
2.1	Estrutura Básica	5
2.2	Funções de Ativação	5
2.3	Arquiteturas de Camadas	6
3	Modelagem Estatística das Redes Neurais	6
3.1	Regressão Linear e Logística	6
3.2	Função de Custo	6
3.2.1	Erro Quadrático Médio (MSE)	7
3.2.2	Entropia Cruzada	7
3.2.3	Função de Hinge	7
3.3	Regularização	7
3.3.1	Regularização L2 (Ridge)	7
3.3.2	Regularização L1 (Lasso)	7
3.3.3	Dropout	7
3.4	Inferência Bayesiana em Redes Neurais	8
4	Otimização em Redes Neurais	8
4.1	Gradiente Descendente	8
4.2	Algoritmos Avançados	8
4.2.1	Adam (Adaptive Moment Estimation)	8
4.2.2	RMSprop	8

4.2.3	AdaGrad	9
4.3	Métodos de Segunda Ordem	9
4.4	Técnicas de Escalonamento de Taxa de Aprendizado	9
5	Implementação de Redes Neurais como Circuitos Elétricos	9
5.1	Diagrama de Circuito de um Neurônio Artificial	10
5.2	Circuito de uma Camada Oculta Completa	10
5.3	Implementação Física com Componentes Reais	10
6	Redes Neurais Convolucionais	11
6.1	Operação de Convolução	11
6.1.1	Padding e Stride	11
6.2	Camadas de Pooling	12
6.3	Arquiteturas de CNNs	12
6.3.1	LeNet-5	12
6.3.2	AlexNet	12
6.3.3	VGGNet	12
6.3.4	ResNet	12
6.3.5	Inception	12
6.4	Transferência de Aprendizado em CNNs	12
7	Redes Neurais Recorrentes	13
7.1	Problema do Gradiente Desvanecido	13
7.2	Long Short-Term Memory (LSTM)	13
7.3	Gated Recurrent Unit (GRU)	13
7.4	Aplicações de RNNs	13
8	Redes Neurais de Grafos	14
8.1	Definição e Componentes	14
8.2	Operação de Agregação	14
8.3	Arquiteturas Populares	14
8.4	Aplicações de GNNs	14
9	Redes Neurais Generativas	14
9.1	Generative Adversarial Networks (GANs)	15
9.1.1	Arquiteturas Populares de GANs	15
9.2	Variational Autoencoders (VAEs)	15
9.3	Aplicações de Redes Neurais Generativas	15
10	Redes Neurais Transformers	15
10.1	Arquitetura do Transformer	15
10.2	Mecanismo de Atenção	16
10.3	Self-Attention e Multi-Head Attention	16
10.4	Aplicações dos Transformers	16
11	Redes Neurais Autoencoders	16
11.1	Arquitetura Básica	16
11.2	Tipos de Autoencoders	17
11.3	Aplicações dos Autoencoders	17

12 Redes Neurais com Memória Externa	17
12.1 Neural Turing Machines (NTMs)	17
12.2 Differentiable Neural Computers (DNCs)	17
12.3 Aplicações	17
13 Redes Neurais Espaciais e Temporais	18
13.1 Redes Neurais Convolucionais 3D	18
13.2 Redes Neurais Espaciais-Temporais	18
13.3 Aplicações	18
14 Redes Neurais com Regularização Avançada	18
14.1 Batch Normalization	18
14.2 Layer Normalization	18
14.3 DropConnect	18
14.4 Early Stopping	19
15 Redes Neurais com Estruturas Recorrentes Complexas	19
15.1 Attention Mechanisms em RNNs	19
15.2 Encoder-Decoder	19
15.3 Bidirectional RNNs	19
16 Redes Neurais para Processamento de Linguagem Natural (NLP)	19
16.1 Word Embeddings	19
16.2 Modelos de Linguagem Baseados em Redes Neurais	19
16.3 Tarefas de NLP	20
17 Redes Neurais para Visão Computacional	20
17.1 Detecção de Objetos	20
17.2 Segmentação de Imagem	20
17.3 Reconhecimento Facial	20
17.4 Geração de Imagens	20
18 Redes Neurais para Séries Temporais	20
18.1 Modelos Autoregressivos	21
18.2 RNNs e LSTMs para Séries Temporais	21
18.3 Modelos de Estado Espacial	21
18.4 Aplicações	21
19 Redes Neurais para Jogos e Simulações	21
19.1 Aprendizado por Reforço	21
19.1.1 Deep Q-Networks (DQN)	21
19.1.2 Policy Gradient Methods	21
19.2 Jogos Estratégicos	21
20 Redes Neurais em Hardware Especializado	22
20.1 GPUs e TPUs	22
20.2 Neuromorphic Computing	22
20.3 FPGAs e ASICs	22

21 Considerações Éticas e de Responsabilidade	22
21.1 Viés e Justiça	22
21.2 Transparência e Explicabilidade	22
21.3 Privacidade	22
21.4 Impacto no Mercado de Trabalho	22
22 Conclusão	23
23 Referências	23

1 Introdução

As redes neurais artificiais (RNAs) são modelos computacionais inspirados no funcionamento do cérebro humano, capazes de aprender a partir de dados e realizar tarefas como reconhecimento de padrões, classificação, previsão e geração de conteúdo. Desde a sua concepção, as RNAs têm evoluído significativamente, incorporando conceitos avançados de estatística, otimização, teoria de circuitos e ciência dos dados para aprimorar seu desempenho e aplicabilidade.

Este artigo tem como objetivo fornecer uma análise detalhada das redes neurais, explorando suas fundações matemáticas e estatísticas, bem como sua implementação prática através de diagramas de circuitos elétricos. Abordaremos desde os conceitos básicos até arquiteturas avançadas, discutindo técnicas de treinamento, regularização e otimização. Além disso, exploraremos a representação gráfica das redes neurais, facilitando a compreensão de sua estrutura e funcionamento interno.

2 Fundamentos das Redes Neurais

2.1 Estrutura Básica

Uma rede neural típica consiste em camadas de neurônios interconectados. Cada neurônio realiza uma operação linear seguida por uma função de ativação não linear. A estrutura básica pode ser representada matematicamente como:

$$\mathbf{y} = \sigma(\mathbf{W}\mathbf{x} + \mathbf{b}) \quad (1)$$

onde:

- \mathbf{x} é o vetor de entrada,
- \mathbf{W} é a matriz de pesos,
- \mathbf{b} é o vetor de bias,
- σ é a função de ativação,
- \mathbf{y} é o vetor de saída.

2.2 Funções de Ativação

As funções de ativação introduzem não linearidades no modelo, permitindo que a rede aprenda relações complexas. As funções mais comuns incluem:

- **Sigmoide:**

$$\sigma(x) = \frac{1}{1 + e^{-x}} \quad (2)$$

- **ReLU (Rectified Linear Unit):**

$$\sigma(x) = \max(0, x) \quad (3)$$

- **Tanh:**

$$\sigma(x) = \tanh(x) \quad (4)$$

- **Leaky ReLU:**

$$\sigma(x) = \begin{cases} x & \text{se } x \geq 0 \\ \alpha x & \text{se } x < 0 \end{cases} \quad (5)$$

onde α é um pequeno coeficiente positivo.

- **Softmax:**

$$\sigma(\mathbf{z})_i = \frac{e^{z_i}}{\sum_{j=1}^K e^{z_j}} \quad (6)$$

usada principalmente na camada de saída para problemas de classificação multi-classe.

2.3 Arquiteturas de Camadas

As redes neurais são compostas por diferentes tipos de camadas, cada uma com uma função específica:

- **Camada de Entrada:** Recebe os dados de entrada.
- **Camadas Ocultas:** Realizam transformações intermediárias nos dados.
- **Camada de Saída:** Produz o resultado final da rede.
- **Camadas de Normalização:** Ajustam a distribuição das ativações para acelerar o treinamento.
- **Camadas de Dropout:** Aplicam regularização removendo aleatoriamente neurônios durante o treinamento.

3 Modelagem Estatística das Redes Neurais

3.1 Regressão Linear e Logística

As redes neurais podem ser vistas como generalizações de modelos de regressão. Na regressão linear, a relação entre as variáveis é modelada de forma linear:

$$y = \mathbf{w}^\top \mathbf{x} + b + \epsilon \quad (7)$$

onde ϵ representa o erro aleatório.

Na regressão logística, a probabilidade de uma classe é modelada utilizando a função sigmoide:

$$P(y = 1|\mathbf{x}) = \sigma(\mathbf{w}^\top \mathbf{x} + b) \quad (8)$$

Esta abordagem é especialmente útil para problemas de classificação binária.

3.2 Função de Custo

A escolha da função de custo é crucial para o treinamento da rede. As funções de custo mais comuns incluem:

3.2.1 Erro Quadrático Médio (MSE)

Para problemas de regressão, a função de erro quadrático médio é frequentemente utilizada:

$$J(\mathbf{w}, b) = \frac{1}{m} \sum_{i=1}^m (y^{(i)} - \hat{y}^{(i)})^2 \quad (9)$$

onde m é o número de amostras.

3.2.2 Entropia Cruzada

Para problemas de classificação, a entropia cruzada é comum:

$$J(\mathbf{w}, b) = -\frac{1}{m} \sum_{i=1}^m [y^{(i)} \log(\hat{y}^{(i)}) + (1 - y^{(i)}) \log(1 - \hat{y}^{(i)})] \quad (10)$$

3.2.3 Função de Hinge

Utilizada principalmente em máquinas de vetor de suporte (SVM), a função de hinge pode ser adaptada para redes neurais:

$$J(\mathbf{w}, b) = \frac{1}{m} \sum_{i=1}^m \max(0, 1 - y^{(i)}(\mathbf{w}^\top \mathbf{x}^{(i)} + b)) \quad (11)$$

3.3 Regularização

Para evitar o overfitting, técnicas de regularização são aplicadas. As principais técnicas incluem:

3.3.1 Regularização L2 (Ridge)

$$J_{L2}(\mathbf{w}, b) = J(\mathbf{w}, b) + \lambda \|\mathbf{w}\|_2^2 \quad (12)$$

3.3.2 Regularização L1 (Lasso)

$$J_{L1}(\mathbf{w}, b) = J(\mathbf{w}, b) + \lambda \|\mathbf{w}\|_1 \quad (13)$$

3.3.3 Dropout

A técnica de dropout consiste em desativar aleatoriamente uma fração dos neurônios durante o treinamento para prevenir co-adaptações:

$$\hat{y} = \frac{y}{1 - p} \quad (14)$$

onde p é a taxa de dropout.

3.4 Inferência Bayesiana em Redes Neurais

Abordagens bayesianas permitem incorporar incerteza nas previsões das redes neurais:

$$P(\mathbf{y}|\mathbf{x}, \mathcal{D}) = \int P(\mathbf{y}|\mathbf{x}, \mathbf{w})P(\mathbf{w}|\mathcal{D})d\mathbf{w} \quad (15)$$

onde \mathcal{D} é o conjunto de dados.

4 Otimização em Redes Neurais

4.1 Gradiente Descendente

O algoritmo de gradiente descendente é utilizado para minimizar a função de custo:

$$\mathbf{w} := \mathbf{w} - \eta \frac{\partial J}{\partial \mathbf{w}} \quad (16)$$

onde η é a taxa de aprendizado.

4.2 Algoritmos Avançados

Métodos como Adam, RMSprop e AdaGrad aprimoram o gradiente descendente ajustando adaptativamente a taxa de aprendizado para cada parâmetro.

4.2.1 Adam (Adaptive Moment Estimation)

Adam combina os benefícios de AdaGrad e RMSprop, mantendo estimativas do primeiro e segundo momentos do gradiente:

$$m_t = \beta_1 m_{t-1} + (1 - \beta_1) g_t \quad (17)$$

$$v_t = \beta_2 v_{t-1} + (1 - \beta_2) g_t^2 \quad (18)$$

$$\hat{m}_t = \frac{m_t}{1 - \beta_1^t} \quad (19)$$

$$\hat{v}_t = \frac{v_t}{1 - \beta_2^t} \quad (20)$$

$$\mathbf{w} = \mathbf{w} - \eta \frac{\hat{m}_t}{\sqrt{\hat{v}_t} + \epsilon} \quad (21)$$

onde g_t é o gradiente na iteração t , β_1 e β_2 são taxas de decaimento, e ϵ é um pequeno valor para estabilidade numérica.

4.2.2 RMSprop

RMSprop adapta a taxa de aprendizado dividindo pelo desvio padrão dos gradientes:

$$v_t = \beta v_{t-1} + (1 - \beta) g_t^2 \quad (22)$$

$$\mathbf{w} := \mathbf{w} - \frac{\eta}{\sqrt{v_t} + \epsilon} g_t \quad (23)$$

4.2.3 AdaGrad

AdaGrad ajusta a taxa de aprendizado com base na frequência dos parâmetros:

$$G_t = \sum_{i=1}^t g_i^2 \quad (24)$$

$$\mathbf{w} := \mathbf{w} - \frac{\eta}{\sqrt{G_t} + \epsilon} g_t \quad (25)$$

4.3 Métodos de Segunda Ordem

Métodos que utilizam informações da segunda derivada, como o método de Newton, podem acelerar a convergência:

$$\mathbf{w} := \mathbf{w} - H^{-1} \nabla J(\mathbf{w}) \quad (26)$$

onde H é a matriz Hessiana.

4.4 Técnicas de Escalonamento de Taxa de Aprendizado

Estratégias como redução da taxa de aprendizado baseada em desempenho ou uso de ciclos de taxa de aprendizado (ciclo de cosseno) são utilizadas para melhorar a eficiência do treinamento.

5 Implementação de Redes Neurais como Circuitos Elétricos

A representação das redes neurais como circuitos elétricos permite uma interpretação física das operações realizadas pelos neurônios artificiais. Nesta seção, apresentamos diagramas detalhados de redes neurais utilizando componentes eletrônicos, facilitando a compreensão da interconexão e funcionamento interno.

5.1 Diagrama de Circuito de um Neurônio Artificial

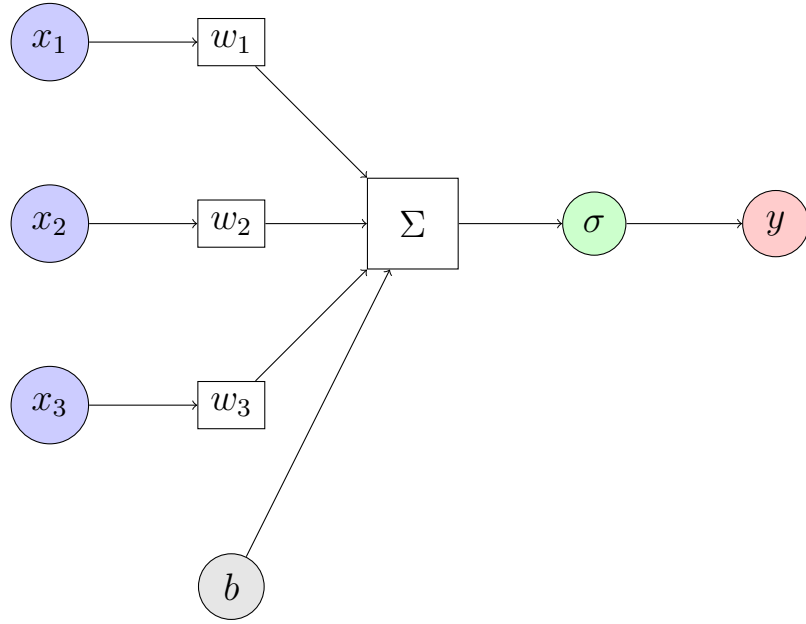


Figura 1: Diagrama de Circuito de um Neurônio Artificial com Três Entradas

5.2 Circuito de uma Camada Oculta Completa

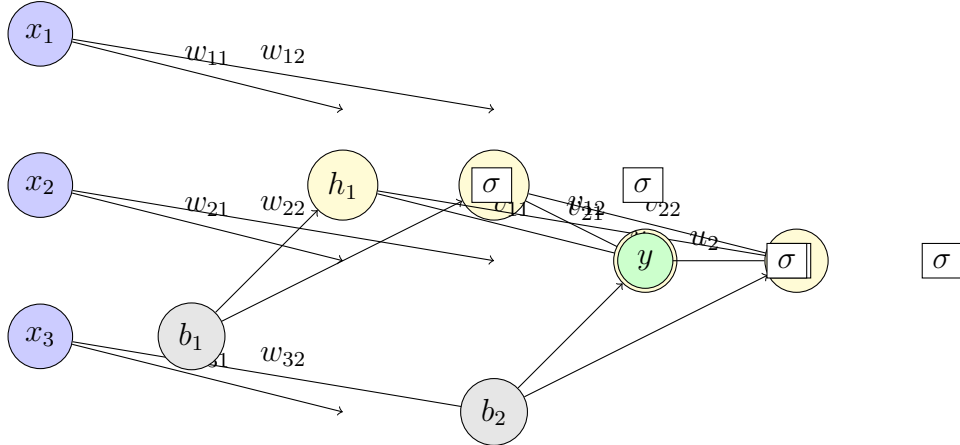


Figura 2: Diagrama de Circuito de uma Rede Neural com Duas Camadas Ocultas

5.3 Implementação Física com Componentes Reais

A implementação física de redes neurais em hardware pode utilizar componentes como resistores, capacitores e amplificadores operacionais para simular operações de multiplicação e soma. Este tipo de implementação é fundamental para aplicações em neuromorfismo e processamento em tempo real.

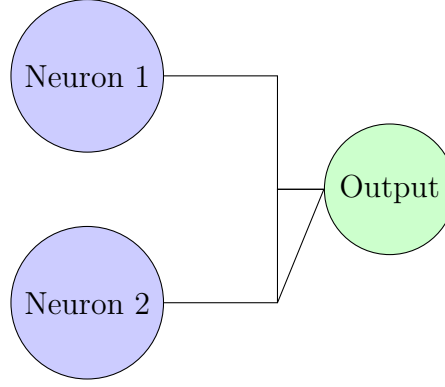


Figura 3: Implementação Física de uma Rede Neural Simples

6 Redes Neurais Convolucionais

As Redes Neurais Convolucionais (CNNs) são especializadas em processamento de dados com estrutura em grade, como imagens e vídeos. Elas utilizam camadas convolucionais que aplicam filtros para extrair características locais, seguidas por camadas de pooling que reduzem a dimensionalidade espacial.

6.1 Operação de Convolução

A operação de convolução em uma CNN pode ser definida como:

$$(S * K)(i, j) = \sum_{m=1}^M \sum_{n=1}^N S(i + m - 1, j + n - 1) K(m, n) \quad (27)$$

onde S é a entrada (imagem), K é o kernel (filtro), e (i, j) são as posições na saída.

6.1.1 Padding e Stride

Para controlar o tamanho da saída, técnicas como padding (preenchimento) e stride (passo) são utilizadas:

$$\text{Output Size} = \frac{(W - F + 2P)}{S} + 1 \quad (28)$$

onde:

- W é o tamanho da entrada,
- F é o tamanho do filtro,
- P é o padding,
- S é o stride.

6.2 Camadas de Pooling

As camadas de pooling reduzem a dimensionalidade espacial, mantendo as características mais importantes. Os tipos comuns de pooling incluem:

- **Pooling Máximo:**

$$P(i, j) = \max\{S(m, n) \mid (m, n) \in \mathcal{R}_{i,j}\} \quad (29)$$

- **Pooling Médio:**

$$P(i, j) = \frac{1}{|\mathcal{R}_{i,j}|} \sum_{(m,n) \in \mathcal{R}_{i,j}} S(m, n) \quad (30)$$

onde $\mathcal{R}_{i,j}$ é a região da janela de pooling.

6.3 Arquiteturas de CNNs

Diversas arquiteturas de CNNs foram propostas para melhorar a eficiência e a precisão em tarefas específicas:

6.3.1 LeNet-5

Uma das primeiras arquiteturas de CNNs, utilizada para reconhecimento de dígitos manuscritos.

6.3.2 AlexNet

Introduziu o uso de ReLU e camadas de dropout, ganhando destaque na competição ImageNet.

6.3.3 VGGNet

Caracterizada por seu uso de filtros pequenos (3x3) e profundidade elevada.

6.3.4 ResNet

Introduziu conexões residuais que facilitam o treinamento de redes muito profundas.

6.3.5 Inception

Utiliza módulos de convolução com múltiplas escalas para capturar diferentes níveis de detalhe.

6.4 Transferência de Aprendizado em CNNs

A transferência de aprendizado consiste em utilizar uma CNN pré-treinada em um grande conjunto de dados e adaptá-la para uma tarefa específica, reduzindo o tempo de treinamento e melhorando a generalização.

7 Redes Neurais Recorrentes

As Redes Neurais Recorrentes (RNNs) são adequadas para dados sequenciais, permitindo que informações de etapas anteriores influenciem as atuais. A unidade básica de uma RNN é definida por:

$$h_t = \sigma(\mathbf{W}_{hh}h_{t-1} + \mathbf{W}_{hx}x_t + \mathbf{b}_h) \quad (31)$$

$$y_t = \mathbf{W}_{hy}h_t + \mathbf{b}_y \quad (32)$$

onde h_t é o estado oculto no tempo t , x_t é a entrada, e y_t é a saída.

7.1 Problema do Gradiente Desvanecido

RNNs tradicionais sofrem com o problema do gradiente desvanecido, dificultando o aprendizado de dependências de longo prazo. Para mitigar este problema, foram desenvolvidas arquiteturas como LSTM e GRU.

7.2 Long Short-Term Memory (LSTM)

As LSTMs introduzem células de memória e portas para controlar o fluxo de informações:

$$f_t = \sigma(\mathbf{W}_f \cdot [h_{t-1}, x_t] + b_f) \quad (33)$$

$$i_t = \sigma(\mathbf{W}_i \cdot [h_{t-1}, x_t] + b_i) \quad (34)$$

$$\tilde{C}_t = \tanh(\mathbf{W}_C \cdot [h_{t-1}, x_t] + b_C) \quad (35)$$

$$C_t = f_t * C_{t-1} + i_t * \tilde{C}_t \quad (36)$$

$$o_t = \sigma(\mathbf{W}_o \cdot [h_{t-1}, x_t] + b_o) \quad (37)$$

$$h_t = o_t * \tanh(C_t) \quad (38)$$

7.3 Gated Recurrent Unit (GRU)

As GRUs simplificam as LSTMs combinando as portas de entrada e esquecimento:

$$z_t = \sigma(\mathbf{W}_z \cdot [h_{t-1}, x_t]) \quad (39)$$

$$r_t = \sigma(\mathbf{W}_r \cdot [h_{t-1}, x_t]) \quad (40)$$

$$\tilde{h}_t = \tanh(\mathbf{W}_h \cdot [r_t * h_{t-1}, x_t]) \quad (41)$$

$$h_t = (1 - z_t) * h_{t-1} + z_t * \tilde{h}_t \quad (42)$$

7.4 Aplicações de RNNs

RNNs são amplamente utilizadas em:

- Processamento de Linguagem Natural (NLP)
- Tradução Automática

- Reconhecimento de Fala
- Geração de Texto
- Modelagem de Séries Temporais

8 Redes Neurais de Grafos

As Redes Neurais de Grafos (GNNs) são projetadas para operar em dados que possuem uma estrutura de grafo, capturando relações complexas entre nós.

8.1 Definição e Componentes

Um grafo G é definido por um conjunto de nós V e arestas E . As GNNs atualizam as representações dos nós iterativamente, agregando informações de seus vizinhos.

8.2 Operação de Agregação

A atualização do estado de um nó pode ser formulada como:

$$h_v^{(k)} = \text{AGGREGATE}^{(k)}(\{h_u^{(k-1)} | u \in \mathcal{N}(v)\}) \quad (43)$$

$$h_v^{(k)} = \text{COMBINE}^{(k)}(h_v^{(k-1)}, h_v^{(k)}) \quad (44)$$

onde $\mathcal{N}(v)$ é o conjunto de vizinhos do nó v .

8.3 Arquiteturas Populares

- Graph Convolutional Networks (GCNs)
- Graph Attention Networks (GATs)
- GraphSAGE
- Message Passing Neural Networks (MPNNs)

8.4 Aplicações de GNNs

- Redes Sociais
- Química e Biologia (previsão de propriedades moleculares)
- Sistemas de Recomendação
- Roteamento em Redes

9 Redes Neurais Generativas

As redes neurais generativas são modelos capazes de gerar novos dados a partir da distribuição aprendida durante o treinamento.

9.1 Generative Adversarial Networks (GANs)

As GANs consistem em duas redes neurais competindo entre si: o gerador e o discriminador.

$$\min_G \max_D \mathbb{E}_{\mathbf{x} \sim p_{\text{data}}} [\log D(\mathbf{x})] + \mathbb{E}_{\mathbf{z} \sim p_z} [\log(1 - D(G(\mathbf{z})))] \quad (45)$$

9.1.1 Arquiteturas Populares de GANs

- DCGAN (Deep Convolutional GAN)
- CycleGAN
- StyleGAN
- Conditional GANs (cGANs)

9.2 Variational Autoencoders (VAEs)

Os VAEs combinam autoencoders com inferência variacional para modelar distribuições de dados.

$$\mathcal{L} = \mathbb{E}_{q(\mathbf{z}|\mathbf{x})} [\log p(\mathbf{x}|\mathbf{z})] - \text{KL}(q(\mathbf{z}|\mathbf{x}) || p(\mathbf{z})) \quad (46)$$

9.3 Aplicações de Redes Neurais Generativas

- Geração de Imagens e Vídeos
- Tradução de Estilo
- Síntese de Voz
- Criação de Conteúdo

10 Redes Neurais Transformers

Os Transformers revolucionaram o campo de NLP e outras áreas, eliminando a necessidade de conexões recorrentes e permitindo processamento paralelo eficiente.

10.1 Arquitetura do Transformer

A arquitetura básica de um Transformer consiste em camadas de atenção multi-cabeça e feed-forward.

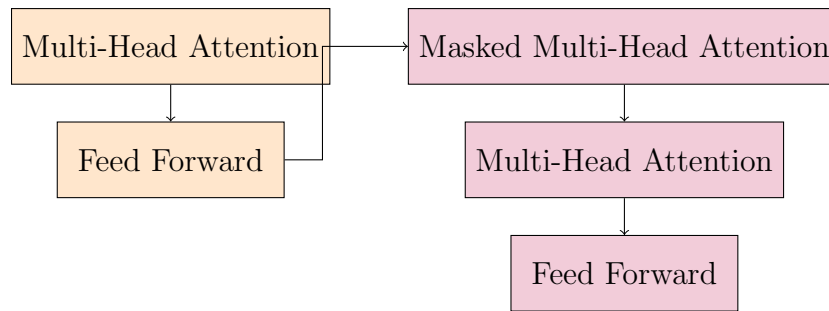


Figura 4: Arquitetura Básica de um Transformer

10.2 Mecanismo de Atenção

O mecanismo de atenção permite que o modelo foque em diferentes partes da entrada para cada saída:

$$\text{Attention}(Q, K, V) = \text{softmax} \left(\frac{QK^{\top}}{\sqrt{d_k}} \right) V \quad (47)$$

onde Q , K , e V são as matrizes de consulta, chave e valor, respectivamente, e d_k é a dimensão das chaves.

10.3 Self-Attention e Multi-Head Attention

Self-Attention permite que cada posição na sequência de entrada se atente a todas as outras posições. **Multi-Head Attention** aplica múltiplas atenções em paralelo para capturar diferentes aspectos das relações entre posições.

10.4 Aplicações dos Transformers

- Tradução Automática
- Resumo de Texto
- Resposta a Perguntas
- Geração de Texto
- Reconhecimento de Fala

11 Redes Neurais Autoencoders

Os autoencoders são redes neurais utilizadas para aprender representações compactas dos dados, realizando compressão e reconstrução.

11.1 Arquitetura Básica

A arquitetura básica de um autoencoder consiste em duas partes:

- **Encoder:** Mapeia a entrada para um espaço latente.

- **Decoder:** Reconstrói a entrada a partir do espaço latente.

Matematicamente:

$$\mathbf{z} = f(\mathbf{x}) \tag{48}$$

$$\hat{\mathbf{x}} = g(\mathbf{z}) \tag{49}$$

onde f e g são funções de mapeamento implementadas por camadas neurais.

11.2 Tipos de Autoencoders

- Autoencoders Variacionais (VAEs)
- Denoising Autoencoders
- Sparse Autoencoders
- Convolutional Autoencoders

11.3 Aplicações dos Autoencoders

- Redução de Dimensionalidade
- Remoção de Ruído
- Geração de Dados
- Detecção de Anomalias

12 Redes Neurais com Memória Externa

Arquiteturas que combinam redes neurais com componentes de memória externa para melhorar a capacidade de armazenamento e recuperação de informações.

12.1 Neural Turing Machines (NTMs)

NTMs combinam redes neurais com uma memória externa acessível através de operações diferenciáveis de leitura e escrita.

12.2 Differentiable Neural Computers (DNCs)

DNCs são uma extensão das NTMs, com mecanismos mais avançados de gerenciamento de memória.

12.3 Aplicações

- Resolução de Problemas Lógicos
- Manipulação de Dados Sequenciais Complexos
- Aprendizado de Algoritmos

13 Redes Neurais Espaciais e Temporais

Modelos que capturam informações espaciais e temporais, essenciais para tarefas como previsão de séries temporais e reconhecimento de padrões em dados dinâmicos.

13.1 Redes Neurais Convolucionais 3D

Estendem as CNNs para lidar com dados volumétricos ou sequências de imagens, aplicando convoluções em três dimensões.

13.2 Redes Neurais Espaciais-Temporais

Combinação de CNNs e RNNs para capturar padrões espaciais e temporais simultaneamente.

13.3 Aplicações

- Reconhecimento de Ações em Vídeos
- Predição de Tráfego
- Análise de Sinais Biomédicos

14 Redes Neurais com Regularização Avançada

Técnicas avançadas de regularização para melhorar a generalização e robustez das redes neurais.

14.1 Batch Normalization

Normaliza as ativações de uma camada para acelerar o treinamento e melhorar a estabilidade:

$$\hat{x} = \frac{x - \mu}{\sqrt{\sigma^2 + \epsilon}} \quad (50)$$

$$y = \gamma \hat{x} + \beta \quad (51)$$

onde μ e σ^2 são a média e variância do batch, e γ , β são parâmetros aprendíveis.

14.2 Layer Normalization

Similar à batch normalization, mas normaliza as ativações ao longo das dimensões das características.

14.3 DropConnect

Uma variante do dropout onde, em vez de desativar neurônios, conexões de peso são desativadas aleatoriamente durante o treinamento.

14.4 Early Stopping

Interrompe o treinamento quando o desempenho no conjunto de validação não melhora, prevenindo overfitting.

15 Redes Neurais com Estruturas Recorrentes Complexas

Exploração de arquiteturas recorrentes avançadas que melhoram a capacidade das RNNs de modelar dependências complexas.

15.1 Attention Mechanisms em RNNs

Incorporação de mecanismos de atenção em RNNs para focar em partes relevantes das sequências de entrada.

15.2 Encoder-Decoder

Arquitetura que utiliza um encoder para processar a sequência de entrada e um decoder para gerar a sequência de saída, amplamente utilizada em tradução automática.

15.3 Bidirectional RNNs

RNNs que processam a sequência em ambas as direções, permitindo que o estado oculto incorpore informações de ambos os contextos anteriores e posteriores.

16 Redes Neurais para Processamento de Linguagem Natural (NLP)

Aplicações específicas de redes neurais no campo de NLP, incluindo modelagem de linguagem, tradução, e geração de texto.

16.1 Word Embeddings

Representação vetorial de palavras que captura significados semânticos e relações sintáticas.

- Word2Vec
- GloVe
- FastText

16.2 Modelos de Linguagem Baseados em Redes Neurais

- RNNs e LSTMs para Modelagem de Linguagem
- Transformers para Modelagem de Linguagem

- BERT (Bidirectional Encoder Representations from Transformers)
- GPT (Generative Pre-trained Transformer)

16.3 Tarefas de NLP

- Tradução Automática
- Análise de Sentimento
- Resposta a Perguntas
- Resumo de Texto
- Reconhecimento de Entidades Nomeadas

17 Redes Neurais para Visão Computacional

Aplicações de redes neurais no processamento e análise de imagens e vídeos.

17.1 Detecção de Objetos

Técnicas para identificar e localizar objetos em imagens.

- YOLO (You Only Look Once)
- Faster R-CNN
- SSD (Single Shot MultiBox Detector)

17.2 Segmentação de Imagem

Divisão de uma imagem em regiões significativas.

- U-Net
- Mask R-CNN
- SegNet

17.3 Reconhecimento Facial

Identificação e verificação de rostos humanos em imagens e vídeos.

17.4 Geração de Imagens

Uso de GANs e VAEs para criar imagens realistas a partir de descrições ou ruídos.

18 Redes Neurais para Séries Temporais

Modelagem e previsão de dados sequenciais ao longo do tempo.

18.1 Modelos Autoregressivos

Modelos que utilizam valores anteriores para prever o próximo valor na sequência.

18.2 RNNs e LSTMs para Séries Temporais

Utilização de redes recorrentes para capturar padrões temporais complexos.

18.3 Modelos de Estado Espacial

Combinação de modelos estatísticos com redes neurais para capturar dinâmicas temporais.

18.4 Aplicações

- Previsão Financeira
- Monitoramento de Sistemas
- Previsão de Demanda
- Análise de Sinais Biomédicos

19 Redes Neurais para Jogos e Simulações

Aplicações de redes neurais no desenvolvimento de agentes inteligentes para jogos e simulações complexas.

19.1 Aprendizado por Reforço

Integração de redes neurais com técnicas de aprendizado por reforço para treinar agentes que aprendem através de interações com o ambiente.

19.1.1 Deep Q-Networks (DQN)

Uso de redes neurais para aproximar funções de valor em ambientes de aprendizado por reforço.

19.1.2 Policy Gradient Methods

Métodos que aprendem diretamente a política de ações sem a necessidade de modelar a função de valor.

19.2 Jogos Estratégicos

Desenvolvimento de agentes capazes de jogar jogos complexos como xadrez, Go e StarCraft, muitas vezes superando jogadores humanos de elite.

20 Redes Neurais em Hardware Especializado

Exploração de implementações de redes neurais em hardware otimizado para melhorar a eficiência computacional e reduzir a latência.

20.1 GPUs e TPUs

Uso de Unidades de Processamento Gráfico (GPUs) e Unidades de Processamento Tensor (TPUs) para acelerar o treinamento e a inferência de redes neurais.

20.2 Neuromorphic Computing

Desenvolvimento de hardware inspirado no cérebro humano, como o IBM TrueNorth e o Intel Loihi, para realizar cálculos neurais de forma eficiente e paralela.

20.3 FPGAs e ASICs

Implementação de redes neurais em Field-Programmable Gate Arrays (FPGAs) e Application-Specific Integrated Circuits (ASICs) para aplicações específicas.

21 Considerações Éticas e de Responsabilidade

Com o avanço das redes neurais, questões éticas e de responsabilidade tornam-se cada vez mais importantes.

21.1 Viés e Justiça

As redes neurais podem perpetuar ou amplificar vieses presentes nos dados de treinamento, levando a decisões injustas ou discriminatórias.

21.2 Transparência e Explicabilidade

A complexidade das redes neurais dificulta a compreensão de suas decisões, levantando preocupações sobre transparência e explicabilidade.

21.3 Privacidade

O uso de dados sensíveis no treinamento de redes neurais pode comprometer a privacidade dos indivíduos, exigindo técnicas de privacidade diferencial e anonimização.

21.4 Impacto no Mercado de Trabalho

A automação impulsionada por redes neurais pode substituir certas funções humanas, impactando o mercado de trabalho e exigindo adaptação e requalificação da força de trabalho.

22 Conclusão

Este artigo apresentou uma análise detalhada das redes neurais artificiais, abordando suas fundações estatísticas, arquiteturas avançadas e a implementação de suas estruturas como circuitos elétricos. Exploramos diversas arquiteturas especializadas, técnicas de treinamento e regularização, bem como aplicações em múltiplos domínios, desde visão computacional até processamento de linguagem natural e jogos. A interseção entre estatística, otimização, teoria de circuitos e ciência dos dados proporciona uma compreensão aprofundada das operações internas das redes neurais, facilitando o desenvolvimento de modelos mais eficientes, interpretáveis e responsáveis.

Futuras pesquisas podem explorar a integração de componentes físicos reais com redes neurais artificiais para aplicações em hardware especializado, além de abordar desafios éticos e de responsabilidade associados ao uso generalizado dessas tecnologias. A contínua evolução das redes neurais promete avanços significativos em inteligência artificial, impulsionando inovações que transformarão diversos setores da sociedade.

23 Referências

Referências

- [1] Goodfellow, I., Bengio, Y., & Courville, A. (2016). *Deep Learning*. MIT Press.
- [2] LeCun, Y., & Bengio, Y. (2015). Deep learning. *Nature*, 521(7553), 436-444.
- [3] Bishop, C. M. (2006). *Pattern Recognition and Machine Learning*. Springer.
- [4] Vaswani, A., Shazeer, N., Parmar, N., Uszkoreit, J., Jones, L., Gomez, A. N., ... & Polosukhin, I. (2017). Attention is all you need. *Advances in Neural Information Processing Systems*, 30.
- [5] Kingma, D. P., & Ba, J. (2014). Adam: A method for stochastic optimization. *arXiv preprint arXiv:1412.6980*.
- [6] Mikolov, T., Sutskever, I., Chen, K., Corrado, G. S., & Dean, J. (2013). Distributed representations of words and phrases and their compositionality. *Advances in Neural Information Processing Systems*, 26.
- [7] He, K., Zhang, X., Ren, S., & Sun, J. (2016). Deep residual learning for image recognition. *Proceedings of the IEEE Conference on Computer Vision and Pattern Recognition*, 770-778.
- [8] Szegedy, C., Liu, W., Jia, Y., & Sermanet, P. (2015). Going deeper with convolutions. *Proceedings of the IEEE Conference on Computer Vision and Pattern Recognition*, 1-9.
- [9] Hinton, G. E., & Salakhutdinov, R. R. (2006). Reducing the dimensionality of data with neural networks. *Science*, 313(5786), 504-507.
- [10] Rumelhart, D. E., Hinton, G. E., & Williams, R. J. (1986). Learning representations by back-propagating errors. *Nature*, 323(6088), 533-536.

- [11] Graves, A., Mohamed, A.-r., & Hinton, G. (2013). Speech recognition with deep recurrent neural networks. *IEEE International Conference on Acoustics, Speech and Signal Processing*, 6645-6649.
- [12] Kingma, D. P., & Welling, M. (2013). Auto-encoding variational bayes. *arXiv preprint arXiv:1312.6114*.
- [13] Bengio, Y. (2009). Learning deep architectures for AI. *Foundations and Trends® in Machine Learning*, 2(1), 1-127.
- [14] LeCun, Y., Bottou, L., Orr, G. B., & Müller, K. R. (1998). Efficient backprop. *Neural Networks: Tricks of the trade*, 9-50.
- [15] Hochreiter, S., & Schmidhuber, J. (1997). Long short-term memory. *Neural Computation*, 9(8), 1735-1780.